

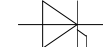
Technische Information / Technical Information

Netz Thyristor
Phase Control Thyristor

T 2851N 42...52TOH

eup_{ec}

N



Features:

Volle Sperrfähigkeit bei 120° mit 50 Hz

Full blocking capability at 120°C with 50 Hz

Hohe Stoßströme und niedriger Wärme-widererstände durch NTV-Verbindung zwischen Silizium und Mo-Trägerscheibe.

High surge currents and low thermal resistance by using low temperature-connection NTV between silicon wafer and molybdenum.

Elektroaktive Passivierung durch a - C:H

Electroactive passivation by a - C:H

Elektrische Eigenschaften / Electrical properties

Höchstzulässige Werte / Maximum rated values

Periodische Vorwärts - und Rückwärts - Spitzensperrspannung repetitive peak forward off-state and reverse voltage	$t_{vj} = -40^\circ\text{C} \dots t_{vj \max}$ $f = 50 \text{ Hz}$	$V_{\text{DRM}}, V_{\text{RRM}}$	4200 4800 5000 5200	V V V V
Durchlaßstrom-Grenzeffektivwert RMS forward current		I_{TRMSM}	6500	A
Dauergrenzstrom mean forward current	$t_C = 85^\circ\text{C}, f = 50\text{Hz}$ $t_C = 60^\circ\text{C}, f = 50\text{Hz}$	I_{TAVM}	2950 4130	A A
Stoßstrom-Grenzwert surge forward current	$t_{vj} = 25^\circ\text{C}, t_p = 10\text{ms}, V_R = 0$ $t_{vj} = t_{vj \max}, t_p = 10\text{ms}, V_R = 0$	I_{FSM}	70 65	kA kA
Grenzlastintegral I^2t -value	$t_{vj} = 25^\circ\text{C}, t_p = 10\text{ms}$ $t_{vj} = t_{vj \max}, t_p = 10\text{ms}$	I^2t	$24,5 \cdot 10^6$ $21,0 \cdot 10^6$	A^2s A^2s
Kritische Stromsteilheit critical rate of rise of on-state current	DIN IEC 747-6 $f = 50\text{Hz}, i_{GM} = 3\text{A}, di_G/dt = 6\text{A}/\mu\text{s}$	$(di/dt)_{\text{cr}}$	150	$\text{A}/\mu\text{s}$
Kritische Spannungssteilheit critical rate of rise of off-state current	$t_{vj} = t_{vj \max}, V_D = 0,67 V_{\text{DRM}}$ 5. Kennbuchstabe / 5 th letter H	$(dv/dt)_{\text{cr}}$	2000	$\text{V}/\mu\text{s}$

Charakteristische Werte / Characteristic values

Durchlaßspannung on-state voltage	$t_{vj} = t_{vj \max}, i_T = 4\text{kA}$	V_T	typ 1,55	max 1,65	V
Schleusenspannung / threshold voltage Ersatzwiderstand / slope resistance	$t_{vj} = t_{vj \max}$	$V_{(\text{TO})}$ r_T	typ 0,9 0,162	max 0,97 0,17	V $\text{m}\Omega$
Durchlaßrechenkennlinien On - state characteristics for calculation $V_T = A + B \cdot i_T + C \cdot \ln(i_T + 1) + D \cdot \sqrt{i_T}$	$t_{vj} = t_{vj \max}$ $600 \text{ A} \leq i_T \leq 6000 \text{ A}$	A B C D	typ -0,259 0,000108 0,172 -0,000866	max -1,923 0,000285 0,543 -0,0328	
Zündstrom gate trigger current	$t_{vj} = 25^\circ\text{C}, V_D = 6\text{V}$	I_{GT}		max 350	mA
Zündspannung gate trigger voltage	$t_{vj} = 25^\circ\text{C}, V_D = 6\text{V}$	V_{GT}		max 2,5	V
Nicht zündender Steuerstrom gate non-trigger current	$t_{vj} = t_{vj \max}, V_D = 6\text{V}$ $t_{vj} = t_{vj \max}, V_D = 0,5 V_{\text{DRM}}$	I_{GD}		20 10	mA
nicht zündende Steuerspannung gate non-trigger voltage	$t_{vj} = 25^\circ\text{C}, V_D = 0,5 V_{\text{DRM}}$	V_{GD}		0,4	V

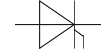
Technische Information / Technical Information

Netz Thyristor
Phase Control Thyristor

T 2851N 42...52TOH

eup_{ec}

N



Elektrische Eigenschaften / Electrical properties

Charakteristische Werte / Characteristic values

Haltestrom holding current	$t_{vj} = 25^\circ\text{C}, V_D = 12\text{V}, R_A = 4,7\Omega$	I_H	350	mA
Einraststrom latching current	$t_{vj} = 25^\circ\text{C}, V_D = 12\text{V}, R_{GK} \geq 10\Omega$ $i_{GM} = 3\text{A}, di_G/dt = 6\text{ A}/\mu\text{s}, t_g = 20\mu\text{s}$	I_L	3	A
Vorwärts- und Rückwärts-Sperrstrom forward off-state and reverse currents	$t_{vj} = t_{vj \max}$ $V_D = V_{DRM}, V_R = V_{RRM}$	i_D, i_R	400	mA
Zündverzug gate controlled delay time	DIN IEC 747-6 $t_{vj} = 25^\circ\text{C},$ $i_{GM} = 3\text{A}, di_G/dt = 6\text{ A}/\mu\text{s}$	t_{gd}	2	μs
Freiwerdezeit circuit commutated turn-off time	$t_{vj} = t_{vj \max}, i_{TM} = I_{TAVM}$ $V_{RM} = 100\text{V}, V_{DM} = 0,67 V_{DRM}$ $dv_D/dt = 20\text{V}/\mu\text{s}, -di_T/dt = 10\text{A}/\mu\text{s}$ 4. Kennbuchstabe / 4 th letter O	t_q	typ 500	μs
Sperrverzögerungsladung recovered charge	$t_{vj} = t_{vj \max}$ $I_{TM} = 2\text{ kA}, di/dt = 10\text{ A}/\mu\text{s}$ $V_R = 0,5 V_{RRM}, V_{RM} = 0,8 V_{RRM}$	Q_r	typ. 15	max. 20 mAs
Rückstromspitze peak reverse recovery current	$t_{vj} = t_{vj \max}$ $I_{TM} = 2\text{ kA}, di/dt = 10\text{ A}/\mu\text{s}$ $V_R = 0,5 V_{RRM}, V_{RM} = 0,8 V_{RRM}$	I_{RM}	400	A

Technische Information / Technical Information

Netz Thyristor
Phase Control Thyristor

T 2851N 42...52TOH

eup**ec**

N



Thermische Eigenschaften / Thermal properties

Innerer Wärmewiderstand thermal resistance, junction to case	beidseitig / two-sided, $\Theta = 180^\circ\text{sin}$ beidseitig / two-sided , DC	R_{thJC}	0,0054 0,005	°C/W °C/W
Übergangs-Wärmewiderstand thermal resistance, case to heatsink	beidseitig / two-sided	R_{thCK}	0,0015	°C/W
Höchstzulässige Sperrsichttemperatur max. junction temperature		$t_{vj \max}$	120	°C
Betriebstemperatur operating temperature		$t_{c \text{ op}}$	-40...+120	°C
Lagertemperatur storage temperature		t_{stg}	-40...+150	°C

Mechanische Eigenschaften / Mechanical properties

Gehäuse, siehe Anlage case, see appendix			Seite 4	
Si-Element mit Druckkontakt, Amplifying-Gate Si-pellet with pressure contact, amplifying gate			100TN52	
Anpreßkraft clamping force		F	63...91	kN
Gewicht weight		G	typ 3000	g
Kriechstrecke creepage distance			33	mm
Feuchteklaasse humidity classification	DIN 40040		C	
Schwingfestigkeit vibration resistance	f = 50Hz		50	m/s ²

Mit dieser technischen Information werden Halbleiterbauelemente spezifiziert, jedoch keine Eigenschaften zugesichert. Sie gilt in Verbindung mit den zugehörigen technischen Erläuterungen.
This technical Information specifies semiconductor devices but promises no characteristics. It is valid in combination with the belonging technical notes.

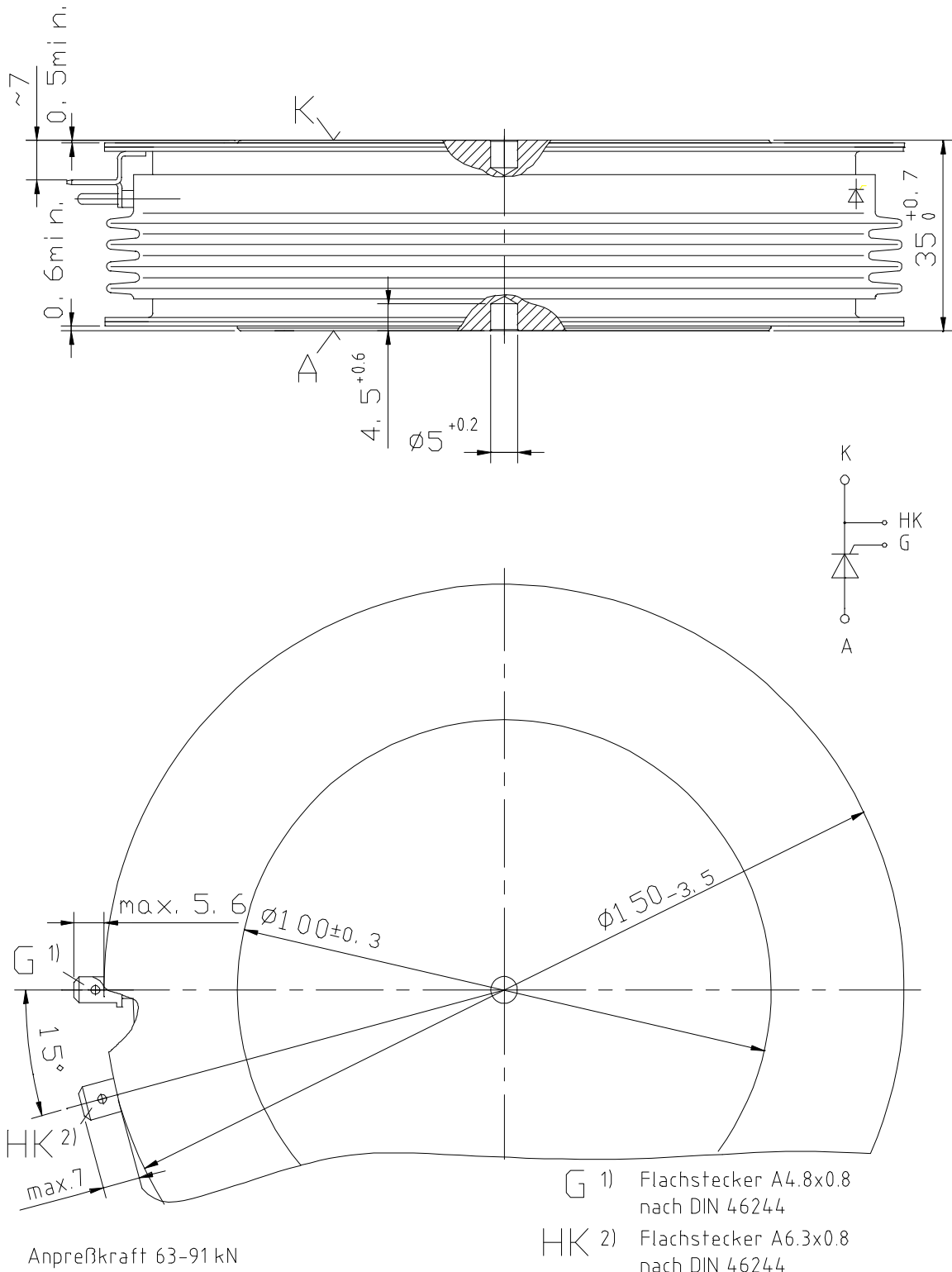
Technische Information / Technical Information

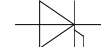
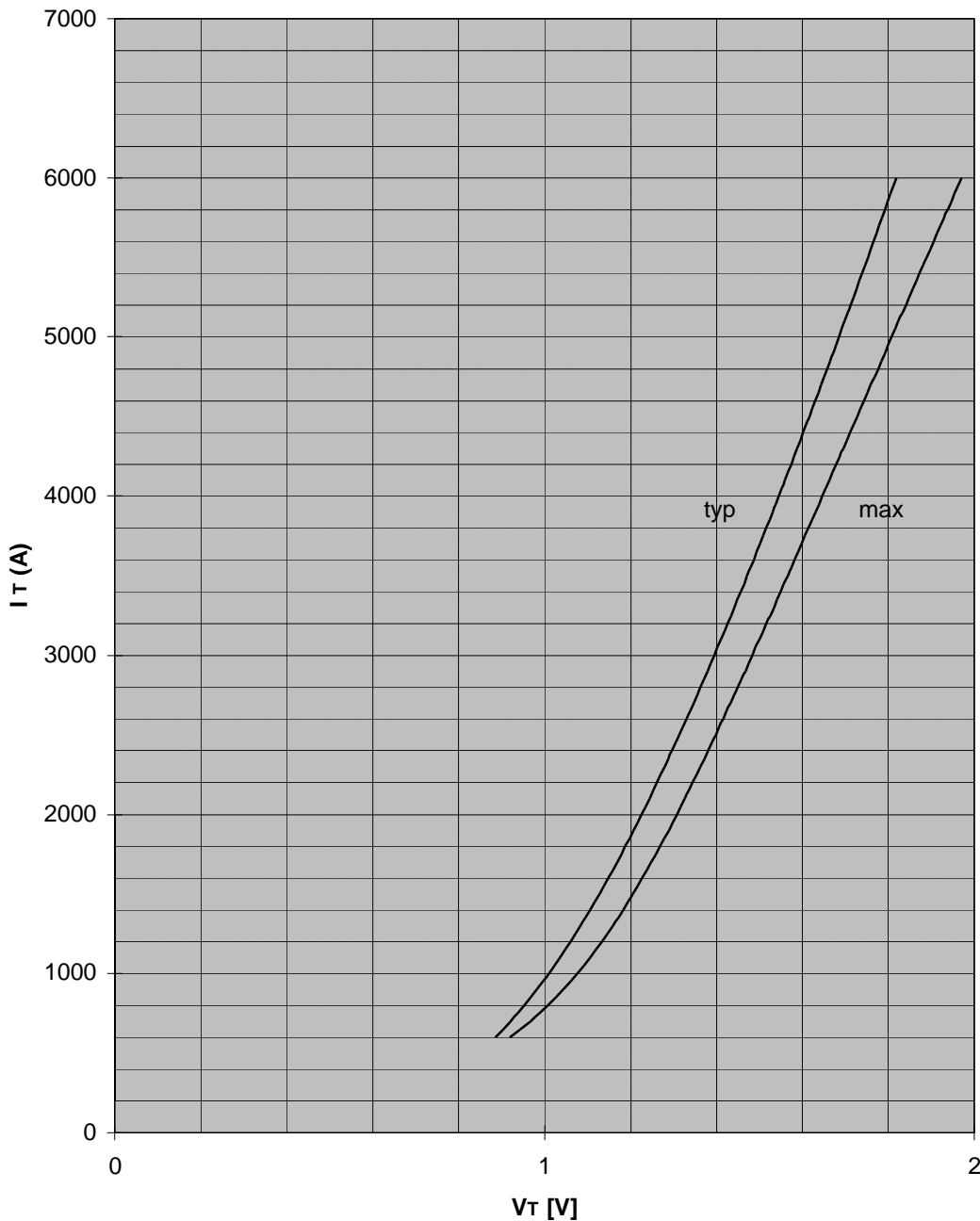
Netz Thyristor
Phase Control Thyristor

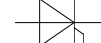
T 2851N 42...52TOH

eupec

N

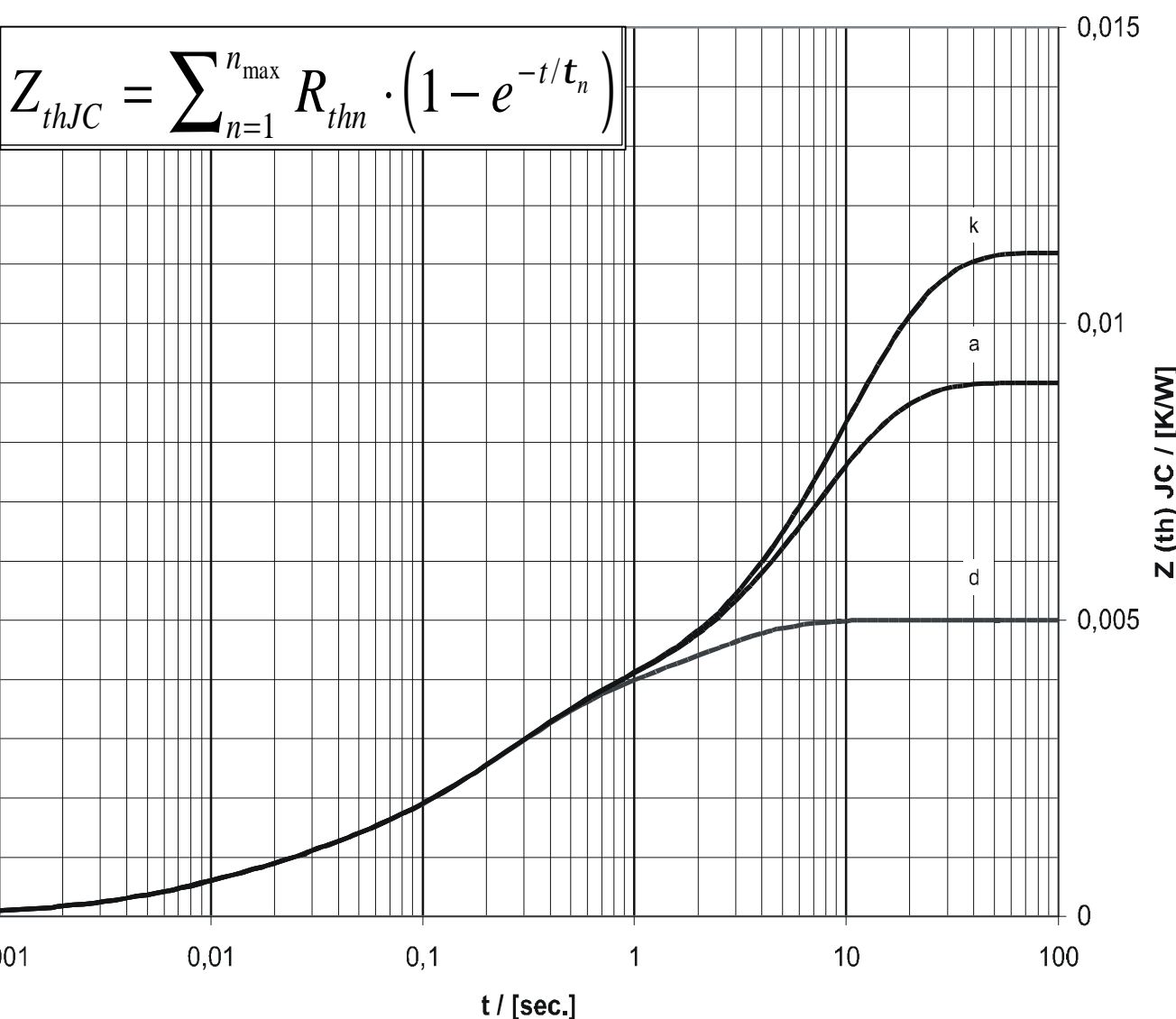


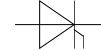
**Durchlaßkennlinien $i_T = f(v_T)$**
Limiting and typical on-state characteristic $\frac{3}{4} \quad t_{vj} = 120^\circ C$ 



Transienter innerer Wärmewiderstand
Transient thermal impedance $Z_{th\,JC} = f(t)$

	doppelseitige Kühlung		anodenseitige Kühlung		kathodenseitige Kühlung	
	r [K/W]	[s]	r [K/W]	[s]	r [K/W]	[s]
1	0,00158	2,05	0,00558	7,2	0,00778	10
2	0,00216	0,25	0,00216	0,25	0,00216	0,25
3	0,00042	0,09	0,00042	0,09	0,00042	0,09
4	0,00055	0,0195	0,00055	0,0195	0,00055	0,0195
5	0,00029	0,0055	0,00029	0,0055	0,00029	0,0055
	0,005	-	0,009	-	0,0112	-



**Sperrverzögerungsladung / recoverd charge**

$$Q_{rr} = f(-di/dt)$$

 $t_{vj} = 120^\circ\text{C}, I_{TM} = 2000\text{A}, v_R = 0,5 \cdot V_{RRM}, v_R = 0,8 \cdot V_{RRM}$ 